

Exercício 4

October 11, 2020

1 Exercício PA1-4

Exercício com data de entrega para 14 de outubro de 2020.

Aluno: Noé de Lima Bezerra

noe_lima@id.uff.br

```
[1]: import numpy as np
import sympy as sp
import matplotlib.pyplot as plt
from IPython.display import display, Math, Image
sp.init_printing(use_latex='mathjax', latex_mode='equation*')
```

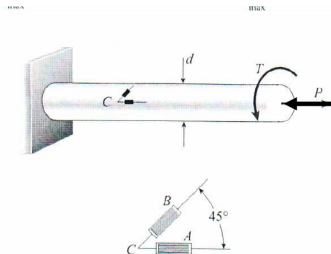
```
[2]: Image("Figuras/PA1-4.png")
```

[2]:

AVALIAÇÃO 8 – EXERCÍCIO PA1-4

Uma barra circular sólida de diâmetro $d=40\text{mm}$ está submetida a uma força axial P e a um torque T , conforme mostrado na figura. Os extensômetros A e B instalados na superfície da barra fornecem as leituras $\epsilon_a = -100 \mu\text{s}$ e $\epsilon_b = -110 \mu\text{s}$. A barra é feita de aço com $E=200 \text{ GPa}$ e $\nu=0,29$.

- Determine a força axial P e o torque T ;
- Determine a deformação de cisalhamento máxima γ_{\max} e a tensão de cisalhamento máxima τ_{\max} na barra.



2 Solução

2.1 Círculo de Mohr

```
[3]: def mohr(s_x,s_y,t_xy):  
    if t_xy == 0:  
        t_xy = 1e-10 # Evitar divisão por zero!  
    z = np.linspace(0,360,360)  
    r = np.sqrt((((s_x-s_y)/2)**2)+t_xy**2)  
    s_med = ((s_x+s_y)/2)  
    tg2tc = -(s_x-s_y)/(2*t_xy)  
    tg2tp = -1/(tg2tc)  
    tc = np.degrees(np.arctan(tg2tc)/2)  
    tp = np.degrees(np.arctan(tg2tp)/2)  
    x = s_med + r*np.cos(np.radians(z))  
    y = r*np.sin(np.radians(z))  
    a = ([s_x,s_x,s_y,s_y,s_x])  
    b = ([0,t_xy,-t_xy,0,0])  
    # Plot  
    text = '\n'.join((  
        r'\sigma_{min} = %.1f~MPa$' % (s_med-r,),  
        r'\sigma_{max} = %.1f~MPa$' % (s_med+r,),  
        r'\tau_{max} = %.1f~MPa$' % (r,),  
        r'\theta_{p} = %.0f^{o}$' % (tp,),  
        r'\theta_{c} = %.0f^{o}$' % (tc,) )  
    ))  
    props = dict(boxstyle='round', facecolor='wheat', alpha=0.5)  
    plt.plot(a,b,x,y)  
    plt.xlabel(r"$\sigma$", size=18)  
    plt.ylabel(r"$\tau$", size=18)  
    plt.title("Círculo de Mohr para Tensões")  
    plt.text(s_med-1.6*r,r,text, fontsize=12, verticalalignment='top',  
    ↪bbox=props)  
    plt.axis("equal")  
    plt.show()
```

```
[4]: def mohr_def(e_x,e_y,g_xy):  
    if g_xy == 0:  
        g_xy = 1e-10 # Evitar divisão por zero!  
    z = np.linspace(0,360,360)  
    r = np.sqrt((((e_x-e_y)/2)**2)+g_xy**2)  
    e_med = ((e_x+e_y)/2)  
    tg2tc = -(e_x-e_y)/(2*g_xy)  
    tg2tp = -1/(tg2tc)  
    tc = np.degrees(np.arctan(tg2tc)/2)  
    tp = np.degrees(np.arctan(tg2tp)/2)  
    x = e_med + r*np.cos(np.radians(z))  
    y = r*np.sin(np.radians(z))
```

```

a = ([e_x,e_x,e_y,e_y,e_x])
b = ([0,g_xy,-g_xy,0,0])
# Plot
text = '\n'.join((
    r'$\epsilon_{\min} = %.1f\sim\mu s$' % (e_med-r,),
    r'$\epsilon_{\max} = %.1f\sim\mu s$' % (e_med+r,),
    r'$\frac{\gamma_{\max}}{2} = %.1f\sim\mu s$' % (r,),
    r'$\theta_p = %.0f^\circ$' % (tp,),
    r'$\theta_c = %.0f^\circ$' % (tc,)
))
props = dict(boxstyle='round', facecolor='wheat', alpha=0.5)
plt.plot(a,b,x,y)
plt.xlabel(r"$\epsilon$", size=18)
plt.ylabel(r"$\frac{\gamma}{2}$", size=18)
plt.title("Círculo de Mohr para Deformações")
plt.text(e_med-1.6*r,r,text, fontsize=12, verticalalignment='top',
↪bbox=props)
plt.axis("equal")
plt.show()

```

2.2 Deformações

Na seção que contém o ponto C , temos as seguintes deformações:

$$\begin{cases} \epsilon_a &= -100 \mu s \\ \epsilon_b &= -110 \mu s \end{cases}$$

```

[5]: mm,N,MPa = sp.symbols("mm,N,MPa")
kN = 1000*N
m = 1000*mm
GPa = 1e3*MPa

```

```

[6]: d = 40*mm
A = np.pi*(d**2)/4
J = np.pi*(d**4)/32
E = 200*GPa
nu = 0.29
G = E/(2*(1+nu))

```

2.3 Equação de Deformação

Temos a seguinte função que relaciona a deformação ao ângulo em relação aos eixos locais #xy#:

$$\epsilon(\theta) = \frac{\epsilon_x + \epsilon_y}{2} + \frac{\epsilon_x - \epsilon_y}{2} \cos(2\theta) + \gamma_{xy} \sin(2\theta)$$

```
[7]: epsilon,theta,epsilon_x,epsilon_y,gamma_xy = sp.  
      ↪symbols('epsilon,theta,epsilon_x,epsilon_y,gamma_xy')
```

```
[8]: eqext = sp.Eq(epsilon,((epsilon_x+epsilon_y)/2) + ((epsilon_x-epsilon_y)/2)*sp.  
      ↪cos(2*theta) + (gamma_xy/2)*sp.sin(2*theta))  
display(eqext)
```

$$\epsilon = \frac{\epsilon_x}{2} + \frac{\epsilon_y}{2} + \frac{\gamma_{xy} \sin(2\theta)}{2} + \left(\frac{\epsilon_x}{2} - \frac{\epsilon_y}{2} \right) \cos(2\theta)$$

2.4 a)

```
[9]: display(eqext.subs(epsilon,-100e-6).subs(theta,0))  
display(eqext.subs(epsilon,-110e-6).subs(theta,sp.pi/4))  
display(eqext.subs(epsilon,(-100e-6)*(-nu)).subs(theta,sp.pi/2))
```

$$-0.0001 = \epsilon_x$$

$$-0.00011 = \frac{\epsilon_x}{2} + \frac{\epsilon_y}{2} + \frac{\gamma_{xy}}{2}$$

$$2.9 \cdot 10^{-5} = \epsilon_y$$

```
[10]: eqgamma = eqext.subs(epsilon,-110e-6).subs(theta,sp.pi/4).subs(epsilon_x,-1e-4).  
      ↪subs(epsilon_y,2.9e-5)  
display(eqgamma)  
2*(-0.00011+3.55e-5)
```

$$-0.00011 = \frac{\gamma_{xy}}{2} - 3.55 \cdot 10^{-5}$$

[10]:

$$-0.000149$$

Assim, temos:

$$\begin{cases} \epsilon_x &= -100 \mu s \\ \epsilon_y &= 29 \mu s \\ \gamma_{xy} &= -149 \mu s \end{cases}$$

```
[11]: epsilon_x_c = -100e-6  
epsilon_y_c = 29e-6  
gamma_xy_c = -149e-6
```

```
[12]: sigma_x = E*epsilon_x_c
sigma_y = 0
tau_xy = G*gamma_xy_c
display(sigma_x,sigma_y,tau_xy)
```

$$-20.0 \text{ MPa}$$

$$0$$

$$-11.5503875968992 \text{ MPa}$$

```
[13]: P = A*sigma_x
display(P)
T = (J/(d/2))*tau_xy
display(T)
```

$$-25132.7412287183 \text{ MPamm}^2$$

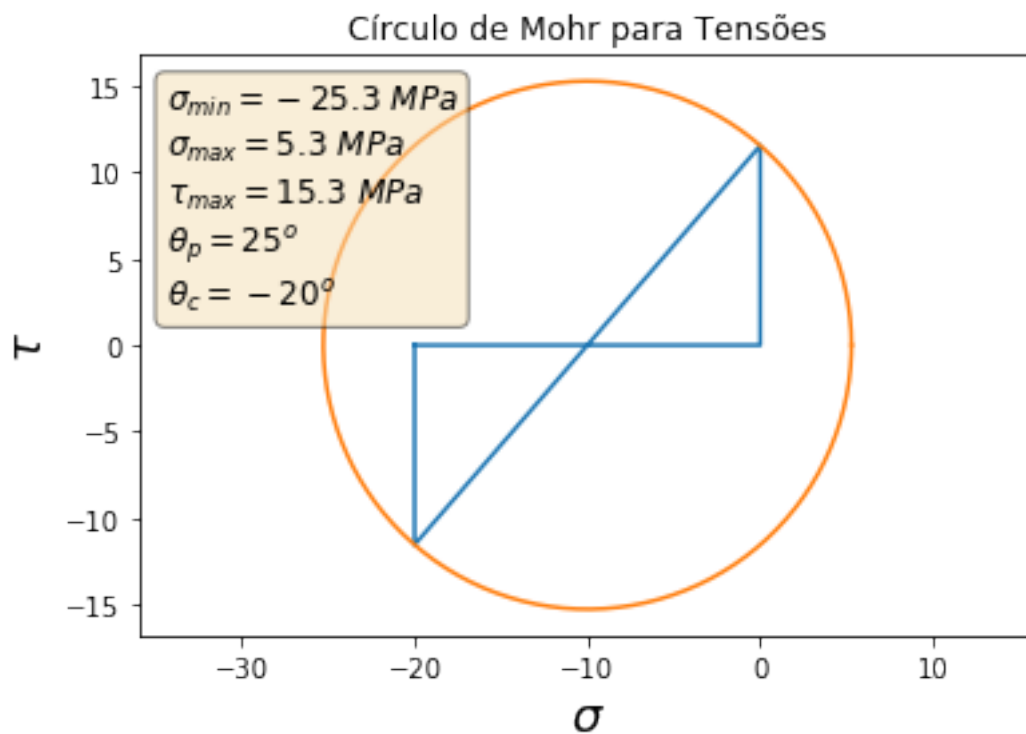
$$-145146.451282133 \text{ MPamm}^3$$

Portanto,

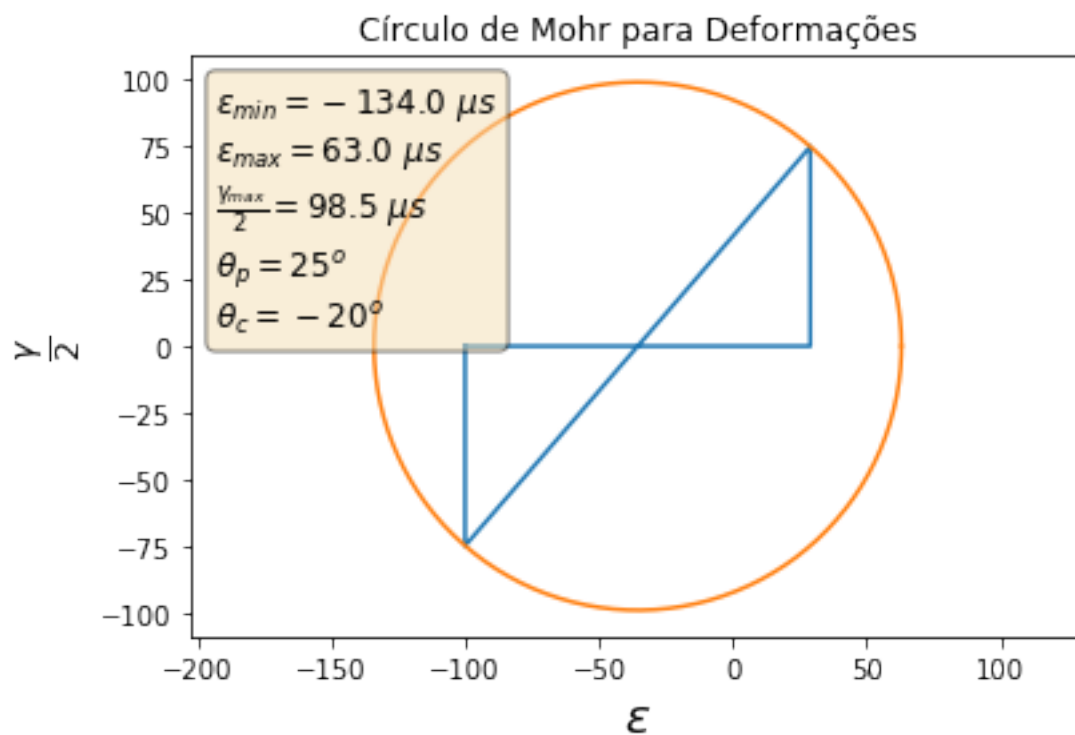
$$\begin{cases} P &= -25,13 \text{ kN} \\ T &= -145,15 \text{ kN} \cdot \text{mm} \end{cases}$$

2.5 b)

```
[14]: mohr(float(sigma_x.subs(MPa,1)),sigma_y,float(tau_xy.subs(MPa,1)))
```



[15]: `mohr_def(-100,29,-149/2)`



[16]: (15.3*MPa)/G

[16]:

0.00019737

Assim, pelo círculo de Mohr, temos $\sigma_{min} = -25,3 \text{ MPa} < 0$ e $\sigma_{max} = 5,3 \text{ MPa} > 0$ e, portanto, o τ_{max} (e, consequentemente, o γ_{max}) ocorre neste plano.

Temos, portanto:

$$\begin{cases} \gamma_{xy_{max}} &= 197 \text{ } \mu s \\ \tau_{xy_{max}} &= 15,3 \text{ MPa} \end{cases}$$